

اثر داروی والپروئیک اسید بر بیان ژن‌های

STAT5B و SOCS1, SOCS3, JAK1, JAK2, STAT3, STAT5A

در سرطان کبد رده سلولی HepG2

* مقصومه سنائی جهرمی، فریدون کاووسی

مرکز تحقیقات بیماری‌های غیر واگیر، دانشگاه علوم پزشکی جهرم، جهرم، ایران

تاریخ وصول: ۱۴۰۰/۰۹/۱۸ تاریخ پذیرش: ۱۴۰۰/۰۲/۲۷

چکیده

زمینه و هدف: فعال شدن نابجای مسیرهای گوناگون داخل سلولی در تمایز، رشد، آپوپتوز و بقاء سلولی دخیل است. مسیرهای داخل سلولی شناخته شده مختلف از قبیل JAK/STAT باعث تومورزاوی و ایجاد سرطان می‌شوند. این مسیر، یک نقش مهم در عملکردهای مختلف سلولی بازی می‌کند و به وسیله سیتوکین‌ها فعال می‌شود. ژن‌های سرکوب کننده مسیر سیتوکین (Suppressors of cytokine signaling, SOCSs) (of cytokine signaling, SOCSs)، یک نقش محوری در تنظیم سیستم ایمنی بازی می‌کنند. لذا هدف از تحقیق، تعیین و تأثیر داروی والپروئیک اسید بر بیان ژن‌های STAT5B، SOCS1، SOCS3، JAK1، JAK2، STAT3، STAT5A در سرطان کبد رده سلولی HepG2 بود.

روش بررسی: در این مطالعه تجربی که در سال ۱۳۹۹ انجام شد، سلول‌های سرطانی کبد رده HepG2 از انتستیتو پاستور خردباری شدند و همپوشانی سلول‌ها به حدود ۸۰ درصد رسید. با استفاده از تریپسین، سلول‌ها جمع‌آوری و پس از شستشو، در پلیت‌های ۹۶ خانه کشت داده شدند. پس از گذشت مدت زمان ۲۴ ساعت از کشت سلول‌ها، محیط کشت تخلیه و محیط حاوی داروی والپروئیک اسید با غلظت‌های مختلف (۰، ۰.۱، ۰.۵، ۰.۷/۵، ۱۰، ۲۰ و ۲۵ میکرومول) جایگزین شد (گروه کنترل فقط حلال دارو یعنی DMSO دریافت کردند). پس از گذشت مدت زمان ۲۴ و ۴۸ ساعت، سلول‌ها با محلول PBS شستشو داده شدند. برای تعیین میزان زنده بودن سلول، از تکنیک MTT استفاده شد. برای تعیین میزان سلول‌های آپوپتوکی و بیان ژن سلول‌ها با داروی والپروئیک اسید با غلظت ۶/۶۴۳ میکرومول برای مدت ۲۴ ساعت و ۰/۴۰۱ میکرومول برای مدت ۴۸ ساعت تریت شدند و پس از ۲۴ و ۴۸ ساعت به ترتیب از تکنیک‌های فلوسیتومتری و ریل تایم برای تعیین سلول‌های آپوپتوکی و بیان ژن‌های SOCS1، SOCS3، JAK1، JAK2، STAT3، STAT5A و STAT5B استفاده شد. داده‌های جمع‌آوری شده با استفاده از آزمون‌های آماری آنالیز واریانس یک طرفه و تست توکی تجزیه و تحلیل شدند.

یافته‌ها: داروی والپروئیک اسید به طور معنی‌داری باعث افزایش بیان ژن‌های SOCS1 و SOCS3، کاهش بیان ژن‌های JAK1، JAK2، STAT3، STAT5A و STAT5B مهار رشد سلولی شد. این ترکیب به طور معنی‌داری باعث ایجاد آپوپتوز گردید ($p < 0.001$). درصد سلول‌های آپوپتوکی پس از ۲۴ و ۴۸ ساعت به ترتیب ۲۲/۲۸ و ۵۰/۳ بود. حداقل میزان آپوپتوز پس از ۴۸ ساعت مشاهده گردید.

نتیجه‌گیری: داروی والپروئیک اسید می‌تواند از طریق مسیر JAK/STAT باعث القاء آپوپتوز در سرطان کبد رده HepG2 شود. به نظر می‌رسد داروی والپروئیک اسید، اثر آپوپتوکی خود را از طریق کاهش بیان ژن‌های JAK1، JAK2، STAT3، STAT5B، SOCS1 و SOCS3 افزایش ژن‌های SOCS1 و SOCS3 انجام دهد.

واژه‌های کلیدی: والپروئیک اسید، مسیر JAK/STAT، سرطان کبد، آپوپتوز

نویسنده مسئول: فریدون کاووسی، جهرم، دانشگاه علوم پزشکی جهرم، مرکز تحقیقات بیماری‌های غیر واگیر

Email: kavoosifraidoon@gmail.com

مقدمه

ژن‌های سرکوب کننده مسیر سیتوکین(Suppressors of cytokine signaling, SOCSs) یک نقش محوری در تنظیم سیستم ایمنی بازی می‌کنند. خانواده SOCS شامل: SOCS1, SOCS2, SOCS3, SOCS4, SOCS5, SOCS6, SOCS7 cytokine-inducible SH2 domain protein (CIS or CISH) است. CIS یک تنظیم کننده وابسته و غیر وابسته به STAT در سیستم ایمنی است. این پروتئین‌ها به تیروزین فسفوریله شده گیرنده متصل شده و برای متصل شدن با STAT رقابت می‌کنند. SOCS آمینواسیدی(aminoacid box) هستند که آنها می‌شود، این پروتئین‌ها مرحله پایانی مسیر JAK/STAT را تنظیم می‌کنند(۵).

پژوهش‌های اخیر نشان داده است که راستیلاسیون ژن‌های(SOCS) به عنوان ژن‌های سرکوب کننده سرطان باعث خاموش شدن ژن و القاء سرطان‌های مختلف از قبیل سرطان کبد می‌شود(۶). راستیلاسیون هیستون، حاصل یک تعامل بین فعالیت دو گروه از آنزیم‌ها، شامل؛ هیستون راستیلاز(histone deacetylases, HDACs) و هیستون استیل ترانس‌فراز(histone acetyltransferases, HATs) است(۷). یک ارتباط قوی بین فعالیت آنزیم‌های هیستون راستیلاز از قبیل؛ آنزیم‌های کلاس دوا(۹، ۷، ۵)، هیستون راستیلاز ۲ و ۸، هیستون راستیلاز ۱۰ و هیستون راستیلاز ۱۱ و ایجاد سرطان کبد وجود دارد(۸).

فعال شدن ناجای مسیرهای گوناگون داخل سلولی در تمایز، رشد، آپوپتوز و بقاء سلولی دخیل است. این مسیرها در القاء و پیشبرد سرطان دخیل هستند. مسیرهای داخل سلولی شناخته شده که باعث تومورزایی و ایجاد سرطان می‌شود شامل؛ Ras/Raf/MAPK, Wnt/β-catenin, PI3K/Akt/mTOR و JAK/STAT است(۲ و ۱). مسیر JAK/STAT یک نقش مهم در عملکردهای مختلف سلولی از قبیل تکثیر و پاسخ التهابی بازی می‌کند(۳). این مسیر می‌تواند به وسیله سیتوکین‌ها و فاکتورهای رشد مختلف از قبیل؛ اینترفرون‌ها، ایترلوکین‌ها و اعضای خانواده فاکتورهای رشد اپیدرمی که به گیرندهای غشایی متصل می‌شوند فعال شود. ناحیه سیتوپلاسمی این گیرندها به پروتئین جک(JAK) متصل شده و باعث فعال شدن جک می‌گردد. جک فعال شده با فسفوریله کردن تیروزین ناحیه سیتوپلاسمی گیرنده، یک ناحیه برای اتصال STAT ایجاد می‌کند. سپس STAT فسفوریله شده به صورت جفت و زوج(dimer) فعال در می‌آید و به هسته مهاجرت می‌کند. در ادامه، STAT به ناحیه پرومотор(Promoter) ژن‌های هدف از قبیل MCL-1 متصل شده و باعث بیان آنها می‌شود(۴). خانواده جک در انسان شامل؛ JAK2، JAK3، JAK1 و TYK2 و اعضای خانواده STAT شامل؛ STAT1, STAT2, STAT3, STAT4, STAT5B, STAT5A و STAT6 است.

روش بررسی

در این مطالعه تجربی که در سال ۱۳۹۸ انجام شد، سلول‌های سرطانی کبد رده HepG2 از بانک سلولی انسستیتو پاستور کشور جمهوری اسلامی ایران (Cell Bank of Iran-Pasteur Institute) خریداری و در محلول Dulbecco's modified Eagle medium (DMEM) حاوی آنتی‌بیوتیک، پنی‌سیلین (penicillin G sodium)، استرپتومایسین (streptomycin) و آمفوتربیسین (fetal bovine serum) (amphotericin B) و غنی از سرم گاوی (FBS) در دمای ۳۷ درج سانتی‌گراد نگهداری شد. داروی والپروئیک اسید و دیگر مواد لازم از قبیل؛ محیط کشت (DMEM)، تریپسین (trypsin-EDTA)، Total RNA extraction Kit (TRIZOL reagent)، (and real-time polymerase chain reaction (PCR) kits آنکسین (Annexin-V-FITC) و پروپیدیوم آیودید (propidium iodide, PI) گردید.

ابتدا سلول‌های سرطانی کبد رده HepG2 کشت داده شدند و پس از این که همپوشانی سلول‌ها به حدود ۸۰ درصد رسید با استفاده از تریپسین سلول‌ها تریپسینه و جمع‌آوری شده و سپس با محلول FBS دو بار شستشو داده و در پلیت‌های ۹۶ خانه کشت داده شدند. در هر خانه از پلیت $10 \times 3 \times 3$ سلول کشت داده شد. پس از گذشت مدت زمان ۲۴ ساعت از کشت سلول‌ها، محیط کشت تخلیه و محیط حاوی داروی والپروئیک اسید با غلظت‌های مختلف (۰، ۱، ۵، ۷، ۱۰، ۱۵ و ۲۰ میکرومول) جایگزین شد (گروه کنترل

ترکیبات مهارکننده آنزیم‌های هیستون

داستیلاز علیه آنزیم‌های مزبور عمل می‌کنند، این ترکیبات تمایز سلولی، توقف چرخه سلولی، مرگ سلولی، کاهش رگ‌سازی (angiogenesis) و تعدیل پاسخ ایمنی را القاء می‌کنند. این داروها به پنج گروه قابل تقسیم هستند که عبارتند از؛ اسیدهای چرب باز بخیره کوتاه (short-chain fatty acids)، هیدروکسامیک اسیدها، تترایپتیدهای حلق‌وی، بنزامیدها و مهارکننده سرتوئین (9). پیشتر ما تأثیر داروی تریکو استاتین آرا به عنوان یک داروی مهارکننده آنزیم هیستون داستیلاز را بر روی کلاس یک هیستون (HDACs ۱، ۲، ۳، ۴، ۵) و کلاس دو (6، ۷، ۸، ۹) بر سرطان کولون رده سلولی LS 174T و LS 180 (10) گزارش کردیم (11 و 12). به علاوه، ما اثر داروی والپروئیک اسید را بر کلاس یک هیستون داستیلاز (3، 4، ۵ و ۶) بر سرطان کبد رده سلولی WCH-17 (13) و HDACs ۱، ۲، ۳، ۴، ۵، ۶، ۷، ۸، ۹، ۱۰، ۱۱ و ۱۲ (14) مورد بررسی قرار داریم (12-14). مسافت این که ما گزارش کردیم داروی والپروئیک اسید باعث افزایش بیان ژن‌های SOCS₁ و SOCS₃ در سرطان کولون رده سلولی SW48 می‌شود (15). به هر حال پژوهش‌های زیادی مسیر نامنظم JAK/STAT را در بسیاری از سرطان‌ها گزارش کرده‌اند (16). لذا هدف از تحقیق موجود تعیین و تأثیر داروی والپروئیک اسید SOCS₁, SOCS₃, JAK1, JAK2, STAT3, STAT5B و STAT5A در سرطان کبد رده سلولی HepG2 بود.

نگهداری شدند و در نهایت سلول‌های آپوپتوک با دستگاه FACScan™ flow cytometer مورد شمارش قرار گرفت.

ابتدا سلول‌های سرطانی کبد رده HepG2 در پلیت‌های ۲۴ خانه کشت داده شدند. پس از گذشت ۲۴ ساعت، سلول‌ها با داروی والپروئیک اسید با غلظت مشخص شده در جدول ۱ برای مدت ۲۴ و ۴۸ ساعت تریت شدند و سپس تمام RNA سلول‌ها به وسیله کیت RNeasy mini kit طبق پروتکل مربوطه استخراج و به منظور حذف DNA ژنومی، RNA به دست آمده با کیت RNase-free DNase RNase-free DNase تریت شد. غلظت RNA با استفاده از دستگاه بیوفتوومتر(BioPhotometer) تعیین گردید. با

استفاده از کیت RevertAid™ First Strand cDNA Synthesis Kit از RNA حاصل cDNA ساخته شد و در نهایت با استفاده از سایبرگرین، Real-time RT-PCR انجام شد. از ژن GAPDH به عنوان کنترل استفاده شد. توالی پرایمرهای استفاده شده در جدول ۲ مشخص شده است. تفاوت نسبی نمونه مورد آزمایش در مقابل نمونه کنترل با فرمول $\Delta\Delta Ct - 2$ محاسبه شد. داده‌های جمع‌آوری شده با استفاده از نرمافزار گراف پد پریسم ۸ و آزمون‌های آماری آنالیز واریانس یک طرفه و تست توکی تجزیه و تحلیل شدند.

فقط حلال دارو یعنی DMSO دریافت کردند). پس از گذشت مدت زمان ۲۴ و ۴۸ ساعت، سلول‌ها با محلول PBS شستشو و سپس محلول MTT برای مدت ۴ ساعت به آن‌ها اضافه شد. پس از ۴ ساعت، کریستال‌های رنگی ایجاد شده را با DMSO حل کرده و میزان رنگ ایجاد شده با طول موج ۵۷۰ مورد بررسی قرار گرفت. برای افزایش ضریب اطمینان، هر آزمایش ۳ بار تکرار شد. با استفاده از این روش، دوز مؤثر دارو به دست آمد که در جدول ۱ ذکر شده است. یادآور می‌شود که برای ادامه بررسی، یعنی بررسی میزان سلول‌های آپوپتوک و بیان ژن از این دوز استفاده شد.

برای تعیین میزان آپوپتوز سلولی، سلول‌های سرطانی کبد رده HepG2 در پلیت‌های ۲۴ خانه کشت داده (به ازای هر خانه 3×10^6 سلول) و با داروی والپروئیک اسید با غلظت مشخص شده در جدول ۱ کشت داده شدند(گروه کنترل فقط حلال دارو یعنی DMSO دریافت کردند). پس از گذشت مدت زمان ۲۴ و ۴۸ ساعت، تمام سلول‌ها با استفاده از تریپسین جمع‌آوری و با محلول PBS شستشو داده شدند و سپس آنکسین و پروپیدیوم آیویدید اضافه کرده و برای مدت ۱۵ دقیقه در دمای اطاق و در تاریکی

جدول ۱: دوز مؤثر دارو که از طریق تکنیک MTT به دست آمده و برای بررسی بیان ژن و آپوپتوز سلولی

Cell line	Drug/ µM	Duration/Hour	IC50	LogIC50	R squared
HepG2	VPA	۲۴	۶/۶۴۳	۰/۴۸۵۱ الی ۱/۱۵۱	۰/۹۷۸۵
HepG2	VPA	۴۸	۵/۴۰۱	۰/۴۹۴۱ الی ۰/۹۵۲۵	۰/۹۶۲۸

جدول ۲: توالی پرایمرهای استفاده شده برای ژن‌های SOCS1، SOCS3، JAK1، JAK2، STAT3، STAT5A و SOCS5B در سرطان کبد رده سلولی HepG2

Primer	Primer sequences (5' to 3')	طول محصول	رفرش	درجه اتصال
SOCS1 Forward	AGCAGCTCGAAAAGGCAGTC ACACTCACTTCCGCACCTTC	۲۹۸	۱۷	۵۸
Reverse				
SOCS3 Forward	ACCAGGCCACTTCTTCAGC GTGGAGCATCATACTGATCC	۳۸۷	۱۷	۵۸
Reverse				
JAK1 Forward	CCACTACCGGATGAGGTTCTA GGGTCTCGAATAGGAGCCAG	۲۱۳	۱۸	۵۸
Reverse				
JAK2 Forward	GATGAGAAATGCCAACAGAAAACG TTGCTGAATAATCTCGCAAAT	۱۶۰	۱۹	۵۸
Reverse				
STAT3 Forward	GCTTTTGTCA CGCAGTGGAGT ATT TGTTGACGGGCTCTGAAGTT	۱۷۴	۱۹	۵۸
Reverse				
STAT5A Forward	AATGAGAACACCCGCAACG TTCCTGAAGTGGGCACTGAG	۱۰۱	۱۹	۵۸
Reverse				
STAT5B Forward	ACTGCTAAAGCTGTTGATGGATAC TGAGTCAGGGTTCTGTGGGTA	۱۷۴	۱۹	۵۸
Reverse				
GAPDH Forward	TGTGGGCATCAATGGATTGG ACACCATGTATTCCGGGTCAT	۱۱۶	۲۰	۵۸
Reverse				

مشخص شد) برای مدت ۲۴ و ۴۸ ساعت تریت شدند.

پس از تریتمنت سلول‌ها، با استفاده از رنگ‌آمیزی آنکسین و پروپیدیوم آیدید میزان سلول‌های آپوپتویک مشخص گردید. این ترکیب به طور معنی‌داری باعث ایجاد آپوپتوز گردید (شکل ۲)($p<0.001$) درصد سلول‌های آپوپتویک پس از ۲۴ و ۴۸ ساعت به ترتیب $۲۲/۳۸$ و $۵۰/۳$ بود($p<0.001$). حد اکثر میزان آپوپتوز پس از ۴۸ ساعت مشاهده گردید (شکل ۳).

نتیجه تعیین بیان ژن نشان داد که داروی والپروئیک اسید(با غلظت مشخص شده می‌تواند به صورت معنی‌داری کاهش بیان ژن‌های JAK1، SOCS1، افزایش ژن‌های STAT5B، JAK2، STAT3 و SOCS3 شود(شکل ۴). میزان بیان ژن‌های مزبور در

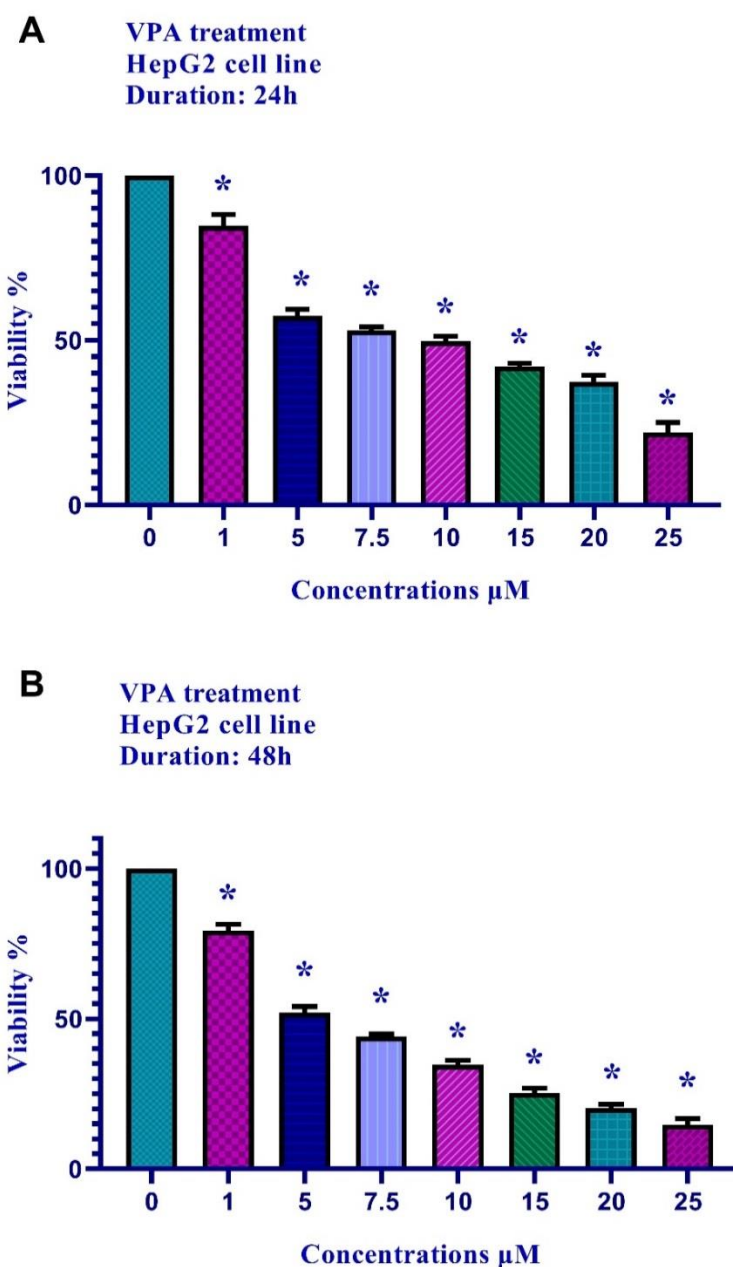
یافته‌ها

سلول‌های سرطانی کبد رده HepG2 با داروی والپروئیک اسید با غلظت‌های مختلف که در قسمت روش‌ها ذکر شده است برای مدت ۲۴ و ۴۸ ساعت تریت شدند سپس میزان سلول‌های زنده به وسیله تکنیک MTT مشخص شد. همچنان که در شکل ۱ مشخص شده است این دارو توانست با تمام غلظت‌های استفاده شده به صورت وابسته به دوز رشد سلولی را به صورت معنی‌داری مهار کند($p<0.001$). دوز مؤثر این دارو که توانست رشد ۵۰ درصد سلول‌ها را مهار کند در جدول ۱ مشخص شده است.

برای تعیین سلول‌های آپوپتویک کبد رده HepG2، سلول‌ها با داروی والپروئیک اسید(با غلظت

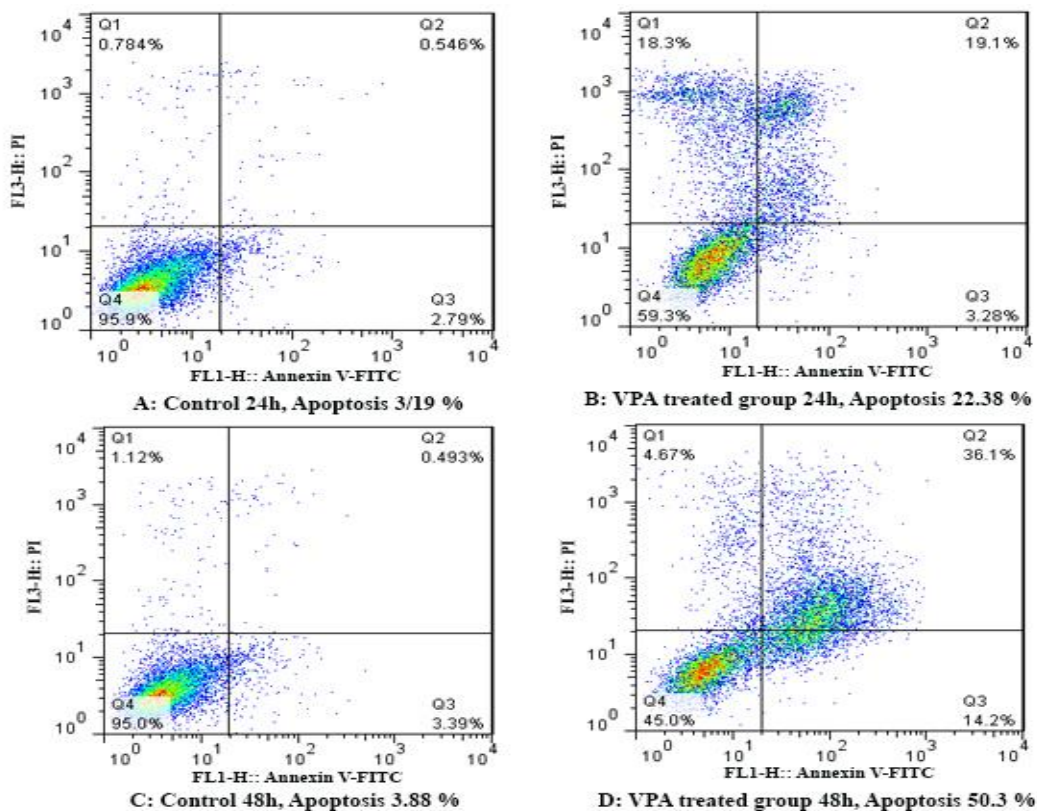
جدول ۳ مشخص شده است. بیشترین میزان بیان ژن،

پس از تریت سلول ها با دارو با غلظت ۴/۵ میکرومول



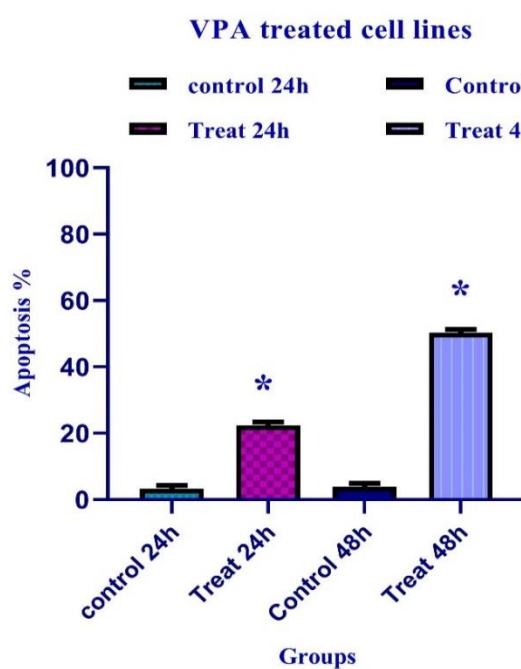
شکل ۱: نتیجه تعیین سلول های زنده در سرطان کبد رده HepG2 که با داروی والپروئیک اسید با غلظت های مختلف (۰، ۱، ۵، ۷.۵، ۱۰، ۱۵، ۲۰ و ۲۵ میکرومول) برای مدت ۲۴ و ۴۸ تریت شده بودند

* تفاوت معنی دار گروه های تریت شده با دارو در مقایسه با گروه کنترل نشان می دهد ($p < 0.001$)

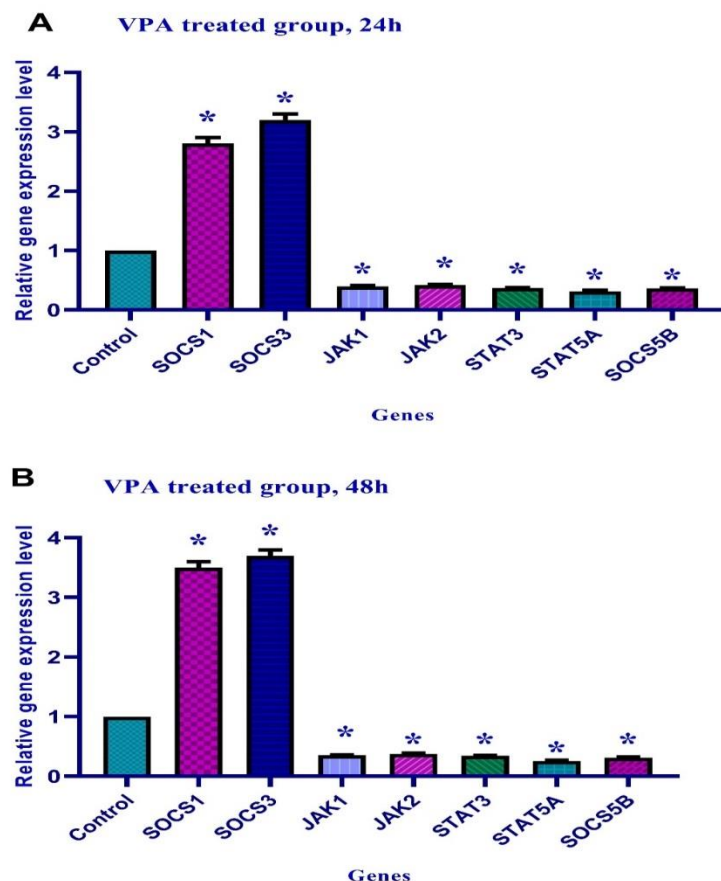


شکل ۲: نتیجه تعیین سلول‌های آپوپتوزیک در سرطان کبد رده HepG2 که با داروی والپروئیک اسید تریت شدند.

*علامت ستاره تفاوت معنی دار گروه‌های تریت شده با دارو در مقایسه با گروه کنترل نشان می‌دهد ($p < 0.001$)



شکل ۳: نمودار مقایسه میزان آپوپتوز سلول‌های سرطان کبد رده HepG2 در زمان‌های مختلف



شکل ۴: نتیجه تعیین بیان ژن‌های SOCS1، SOCS3، JAK1، JAK2، STAT3، STAT5A و STAT5B در سرطان کبد رده HepG2 که با داروی والپروئیک اسید تریت شدند

*علامت ستاره تفاوت معنی‌دار گروه‌های تریت شده با دارو در مقایسه با گروه کنترل نشان می‌دهد ($p<0.001$)

جدول ۳: نتیجه تعیین بیان ژن‌های SOCS1، SOCS3، JAK1، JAK2، STAT3، STAT5A و STAT5B در سرطان کبد رده .HepG2

Cell line	Gene	Drug	مدت تریتمنت	میزان بیان ژن	سطح معنی‌داری
HepG2	SOCS1	VPA	۲۴	۲/۸	.۰۰۰۱
HepG2	SOCS1	VPA	۴۸	۳/۵	.۰۰۰۱
HepG2	SOCS3	VPA	۲۴	۳/۲	.۰۰۰۱
HepG2	SOCS3	VPA	۴۸	۳/۷	.۰۰۰۱
HepG2	JAK1	VPA	۲۴	۰/۳۹	.۰۰۰۱
HepG2	JAK1	VPA	۴۸	۰/۳۵	.۰۰۰۱
HepG2	JAK2	VPA	۲۴	۰/۴۱	.۰۰۰۱
HepG2	JAK2	VPA	۴۸	۰/۳۷	.۰۰۰۱
HepG2	STAT3	VPA	۲۴	۰/۳۷	.۰۰۰۱
HepG2	STAT3	VPA	۴۸	۰/۳۴	.۰۰۰۱
HepG2	STAT5A	VPA	۲۴	۰/۳۱	.۰۰۰۱
HepG2	STAT5A	VPA	۴۸	۰/۲۷	.۰۰۰۱
HepG2	STAT5B	VPA	۲۴	۰/۳۶	.۰۰۰۱
HepG2	STAT5B	VPA	۴۸	۰/۳۱	.۰۰۰۱

بحث

مسیر JAK/STAT و کاهش بیان ژن‌های متعلق به این مسیر شده و در نتیجه باعث ایجاد آپوپتوز در سلول‌های سرطانی می‌گردد (۲۱). نتیجه پژوهش‌های حاضر نشان داد که داروی والپروئیک اسید قادر است باعث افزایش بیان ژن‌های SOCS₁ و SOCS₃ و کاهش بیان ژن‌های JAK1, JAK2, STAT3, STAT5A و STAT5B، مهار رشد سلولی و ایجاد آپوپتوز در سلول‌های سرطانی کبد رده HepG₂ گردد.

مشابه نتایج حاضر، دیگر پژوهش‌ها گزارش کرده‌اند که داروی مهار کننده آنزیم هیستون داستیلاز SOCS₁ از قبیل تریکواستاتین آ با افزایش بیان ژن‌های SOCS₃ و SOCS₃ باعث مهار مسیر JAK₂/STAT₃ می‌شوند (۲۲). همچنین گزارش شده است که داروهای مهار کننده آنزیم‌های هیستون داستیلاز با افزایش بیان ژن SOCS₃ باعث مهار مسیر JAK/STAT و ایجاد آپوپتوز در سلول‌های سرطانی خون رده MV4-11 می‌شود (۲۳).

نتیجه پژوهش‌های قبلی ما نشان داد که داروی والپروئیک اسید با کاهش بیان ژن هیستون داستیلاز ۱، باعث افزایش بیان ژن SOCS₁ و در نتیجه القاء آپوپتوز در سلول‌های سرطانی کبد رده LCL-PI11 می‌شود (۲۴).

ترکیبات مهار کننده آنزیم‌های هیستون داستیلاز از قبیل: ساها ITF2357 (suberoylanilidehydroxamic acid, SAHA) افزایش بیان ژن‌های SOCS₁ و SOCS₃ در سلول‌های گلیال می‌گردد (۲۵). پژوهش‌های آزمایشگاهی نشان

تغییرات اپیژنتیک، می‌توانند باعث مهار بیان ژن‌ها و خاموش شدن ژن‌ها شوند. تغییراتی از قبیل: متیلاسیون DNA و هیستون داستیلاسیون می‌توانند باعث فشرده شدن کروماتین و عدم امکان نسخه‌برداری شوند. چنین تغییراتی در ژن‌های مهار کننده سرطان، باعث عدم بیان این ژن‌ها شده و در نتیجه تکثیر سلول‌هایی رویه ادامه یافته و منجر به سرطان می‌شود. داروهای مهار کننده آنزیم‌های متیل ترانس فراز و هیستو داستیلاز می‌توانند از طریق مهار آنزیم‌های مزبور باعث بیان مجدد ژن‌های خاموش شده و در نتیجه القاء آپوپتوز شوند. لذا هدف از تحقیق تعیین و تأثیر داروی والپروئیک اسید بر بیان SOCS₁, SOCS₃, JAK1, JAK2, STAT3, STAT5A و STAT5B در سرطان کبد رده سلولی HepG₂ بود.

اختلال در مسیر JAK/STAT، عامل ایجاد بسیاری از سرطان‌های است. گزارش شده است که ژن‌های سرکوب‌گر مسیر سیتوکین (SOCS) که تنظیم کننده منفی مسیر JAK/STAT هستند نقش سرکوب کننده سرطان دارند. پژوهش‌های اخیر نشان داده است که داروهای مهار کننده آنزیم‌های هیستون داستیلاز از قبیل تریکواستاتین آ (trichostatin A) و والپروئیک اسید باعث استیلاسیون ناحیه پروموتور SOCS₁ (Promoter) ژن‌های سرکوب‌گر مسیر سیتوکین (SOCS₃) و (SOCS₃) شده و در نتیجه باعث بیان مجدد این ژن‌ها می‌گردد. بیان مجدد این ژن‌ها که به عنوان ژن‌های سرکوب کننده سرطان محسوب می‌شوند باعث مهار

آپوپتوزی داروی والپروئیک اسید در سرطان کبد نیست. بنابراین بررسی مسیرهای آپوپتوزی دیگر که در بالا ذکر شد در سلولهای سرطانی کبد پیشنهاد می‌گردد.

با توجه به محدودیت‌های بودجه و محدودیت‌های تکنیکی، ما نتوانستیم میزان پروتئین‌های ژن‌های مورد مطالعه مورد بررسی قرار دهیم.

با توجه به اثر داروی والپروئیک اسید بر بیان SOCS1، SOCS3، JAK1، JAK2، STAT3، HepG2 و STAT5B در سرطان کبد رده پیشنهاد می‌شود اثر این دارو بر دیگر رده‌های سلولی سرطان کبد مورد بررسی قرار گیرد.

نتیجه‌گیری

داروی والپروئیک اسید قادر است از طریق افزایش بیان ژن‌های SOCS1 و SOCS3 و کاهش بیان ژن‌های JAK1، JAK2، STAT3 و STAT5B باعث مهار رشد سلولی و ایجاد آپوپتوز در سرطان کبد، رده سلولی HepG2 شود.

تقدیر و تشکر

این مقاله برگرفته از طرح تحقیقاتی مصوب شورای پژوهشی دانشگاه علوم پزشکی جهرم با کد IR.JUMS.REC.1394.131 می‌باشد و با حمایت مالی این دانشگاه انجام شد.

داده است که ترکیباتی از قبیل تریکواستاتین آ و ITF2357 (به عنوان داروهای مهارکننده آنزیمهای SOCS₁ هیستون دیاستیلاز) باعث افزایش بیان ژن‌های SOCS₃ و القاء آپوپتوز در سلولهای سرطانی کولورکتال می‌شوند(۲۶). شایان ذکر است که مسیر JAK/STAT تنها مسیری نیست که والپروئیک اسید به واسطه آن باعث القاء آپوپتوز می‌گردد. علاوه بر این مسیر، پژوهش‌های اخیر نشان داده است که این دارو از طریق مهار آنزیم هیستون دیاستیلاز(HDAC4) و کاهش بیان Notch₁ باعث مهار مسیر Notch (Notch signaling) و افزایش بیان ژن‌های سرکوب کننده توموری P₂₁ و P₆₃ و در نتیجه ایجاد آپوپتوز در سلولهای سرطانی کبد می‌گردد(۲۷). دیگر مسیرهایی که داروی والپروئیک اسید به واسطه آنها باعث القاء histone deacetylases، GSK3 آپوپتوز می‌گردد شامل؛

α and β , Akt, the ERK pathway, the phosphoinositol pathway, the tricarboxylic acid cycle, GABA, and the OXPHOS system(۲۴-۲۸). پژوهش‌های قبلی ما نشان داد که داروهای والپروئیک اسید و تریکواستاتین آ با مهار آنزیم‌های DNA متیل ترانس فراز باعث افزایش بیان ژن‌های تنظیم کننده چرخه سلولی(شامل P₂₁ و P₅₇) و ایجاد آپوپتوز در سلول های سرطانی کولون رده SW480 می‌شود(۲۹). هم‌چنین گزارش شده است که داروی والپروئیک اسید از طریق فعال کردن آنزیم‌های کاسپاز باعث القاء آپوپتوز در سلولهای سرطانی کبد می‌شود(۳۰). در مجموع می‌توان نتیجه‌گیری کرد که مسیر JAK/STAT تنها مسیر

REFERENCES

- 1.Chen C, Wang G. Mechanisms of hepatocellular carcinoma and challenges and opportunities for molecular targeted therapy. *World Journal of Hepatology* 2015; 7(15): 1964.
- 2.Alqahtani A, Khan Z, Alloghbi A, S Said Ahmed T, Ashraf M, M Hammouda D. Hepatocellular carcinoma: molecular mechanisms and targeted therapies. *Medicina* 2019; 55(9): 526.
- 3.Thomas S, Snowden J, Zeidler M, Danson S. The role of JAK/STAT signalling in the pathogenesis, prognosis and treatment of solid tumours. *British Journal of Cancer* 2015; 113(3): 365-71.
- 4.Rosmorduc O, Desbois-Mouthon C. Targeting STAT3 in hepatocellular carcinoma: Sorafenib again. *Journal of Hepatology* 2011; 55(5): 957-9.
- 5.Seif F, Khoshmirsafa M, Aazami H, Mohsenzadegan M, Sedighi G, Bahar M. The role of JAK-STAT signaling pathway and its regulators in the fate of T helper cells. *Cell Communication and Signaling* 2017; 15(1): 1-13.
- 6.Zhang X, Wang J, Cheng J, Ding S, Li M, Sun S, et al. An integrated analysis of SOCS 1 down-regulation in HBV infection-related hepatocellular carcinoma. *Journal of Viral Hepatitis* 2014; 21(4): 264-71.
- 7.Kim JH, Jee BC, Lee JM, Suh CS, Kim SH. Histone acetylation level and histone acetyltransferase/deacetylase activity in ejaculated sperm from normozoospermic men. *Yonsei Med J* 55(5):1333-1340.
- 8.Freese K, Seitz T, Dietrich P, Lee SM, Thasler WE, Bosserhoff A, et al. Histone deacetylase expressions in hepatocellular carcinoma and functional effects of histone deacetylase inhibitors on liver cancer cells in vitro. *Cancers* 2019; 11(10): 1587.
- 9.Eckschlager T, Plch J, Stiborova M, Hrabetá J. Histone deacetylase inhibitors as anticancer drugs. *International Journal of Molecular Sciences* 2017; 18(7): 1414.
- 10.Sanaei M, Kavoosi F. Investigation of the effect of zebularine in comparison to and in combination with trichostatin A on p21Cip1/Waf1/Sdi1, p27Kip1, p57Kip2, DNA methyltransferases and histone deacetylases in colon cancer LS 180 cell line. *Asian Pacific journal of cancer prevention: APJCP*. 2020;21(6):1819.
- 11.Sanaei M, Kavoosi F. Effect of zebularine in comparison to and in combination with trichostatin A on CIP/KIP family (p21Cip1/Waf1/Sdi1, p27Kip1, and p57Kip2), DNMTs (DNMT1, DNMT3a, and DNMT3b), class I HDACs (HDACs 1, 2, 3) and class II HDACs (HDACs 4, 5, 6) gene expression, cell growth inhibition and apoptosis induction in colon cancer LS 174T cell line. *Asian Pacific Journal of Cancer Prevention: APJCP*. 2020;21(7):2131.Cell Line.
- 12.Sanaei M, Kavoosi F. Effects of 5-aza-2'-deoxycytidine and Valproic Acid on Epigenetic-modifying DNMT1 Gene Expression, Apoptosis Induction and Cell Viability in Hepatocellular Carcinoma WCH-17 cell line. *Iranian Journal of Pediatric Hematology & Oncology*. 2019;9(2): 83-90.
- 13.Kavoosi F, Sanaei M. Comparative analysis of the effects of valproic acid and tamoxifen on proliferation, and apoptosis of human hepatocellular carcinoma WCH 17 cellin. *Iranian Journal of Pediatric Hematology and Oncology* 2018; 8(1): 12-20.
- 14.Sanaei M, Kavoosi F. Effect of valproic acid on the class i histone deacetylase 1, 2 and 3, tumor suppressor genes p21WAF1/CIP1 and p53, and intrinsic mitochondrial apoptotic pathway, Pro-(Bax, Bak, and Bim) and anti-(Bcl-2, Bcl-xL, and Mcl-1) apoptotic genes expression, cell viability, and apoptosis induction in hepatocellular carcinoma hepg2 cell line. *Asian Pacific Journal of Cancer Prevention: APJCP* 2021; 22(S1): 89-95.
- 15.Sanaei M, Kavoosi F, Behjoo H. Effect of valproic acid and zebularine on SOCS-1 and SOCS-3 gene expression in colon carcinoma SW48 cell line. *Experimental Oncology* 2020; 42(3): 183-7.
- 16.Tang JJH, Thng DKH, Lim JJ, Toh TB. JAK/STAT signaling in hepatocellular carcinoma. *Hepatic Oncology* 2020; 7(1): 1-15.
- 17.Park EJ, Park SY, Joe E-h, Jou I. 15d-PGJ2 and rosiglitazone suppress janus kinase-STAT inflammatory signaling through induction of suppressor of cytokine signaling 1 (SOCS1) and SOCS3 in glia. *Journal of Biological Chemistry* 2003; 278(17): 14747-52.
- 18.Chen B, Lai J, Dai D, Chen R, Li X, Liao N. JAK1 as a prognostic marker and its correlation with immune infiltrates in breast cancer. *Aging(Albany NY)* 2019; 11(23): 11124.
- 19.Xiong H, Chen ZF, Liang QC, Du W, Chen HM, Su WY, et al. Inhibition of DNA methyltransferase induces G2 cell cycle arrest and apoptosis in human colorectal cancer cells via inhibition of JAK2/STAT3/STAT5 signalling. *Journal of Cellular and Molecular Medicine* 2009; 13(9b): 3668-79.

- 20.Zhao S, Guo J, Zhao Y, Fei C, Zheng Q, Li X, et al. Chidamide, a novel histone deacetylase inhibitor, inhibits the viability of MDS and AML cells by suppressing JAK2/STAT3 signaling. American Journal of Translational Research 2016; 8(7): 3169.
21. Xiong H, Du W, Zhang YJ, Hong J, Su WY, Tang JT, et al. Trichostatin A, a histone deacetylase inhibitor, suppresses JAK2/STAT3 signaling via inducing the promoter-associated histone acetylation of SOCS1 and SOCS3 in human colorectal cancer cells. Molecular Carcinogenesis 2012; 51(2): 174-84.
- 22.Jiang M, Zhang WW, Liu P, Yu W, Liu T, Yu J. Dysregulation of SOCS-mediated negative feedback of cytokine signaling in carcinogenesis and its significance in cancer treatment. Frontiers in Immunology 2017; 8: 70.
- 23.Johan MF, Jusoh SAM. AB119. Induction of suppressor of cytokine signaling-3 in FLT3-ITD positive MV4-11 acute myeloid leukemia cells in response to 5-Azacytidine and Trichostatin A. Annals of Translational Medicine 2015; 3: 1-12
- 24.Sanaei M, Kavoosi F, Esmi Z. The effect of 5-aza-2'-deoxycytidine in combination to and in comparison with vorinostat on DNA methyltransferases, histone deacetylase 1, glutathione S-transferase 1 and suppressor of cytokine signaling 1 genes expression, cell growth inhibition and apoptotic induction in hepatocellular LCL-PI 11 cell line. International Journal of Hematology-Oncology and Stem Cell Research 2020; 14(1): 45.
- 25.Faraco G, Pittelli M, Cavone L, Fossati S, Porcu M, Mascagni P, et al. Histone deacetylase (HDAC) inhibitors reduce the glial inflammatory response in vitro and in vivo. Neurobiology of Disease 2009; 36(2): 269-79.
- 26.Sachan M, Kaur M. Epigenetic modifications: therapeutic potential in cancer. Brazilian Archives of Biology and Technology 2015; 58(4): 526-39.
- 27.Sun G, Mackey LV, Coy DH, Yu C-Y, Sun L. The histone deacetylase inhibitor valproic acid induces cell growth arrest in hepatocellular carcinoma cells via suppressing notch signaling. Journal of Cancer 2015; 6(10): 996.
- 28.Kostrouchova M, Kostrouch Z, Kostrouchova M. Valproic acid, a molecular lead to multiple regulatory pathways. Folia biologica-praha 2007; 53(2): 37.
- 29.Sanaei M, Kavoosi F. Effect of 5-aza-2'-deoxycytidine in comparison to valproic acid and trichostatin A on histone deacetylase 1, DNA methyltransferase 1, and CIP/KIP family (p21, p27, and p57) genes expression, cell growth inhibition, and apoptosis induction in colon cancer SW480 cell line. Advanced Biomedical Research 2019; 8: 52-59.
- 30.Sanaei M, Kavoosi F. Profound inhibitory and apoptotic effects of histone deacetylase inhibitor valproic acid on different cancers. Crescent Journal of Medical and Biological Sciences 2019; 6(4): 441-8.

The Effect of Valproic Acid Drug on the Expression of SOCS1, SOCS3, JAK1, JAK2, STAT3, STAT5A and STAT5B Genes in HepG2 Cell Line Liver Cancer

Sanai Jahormi M, Kaousi F*

Non-communicable Diseases Research Center, Jahrom University of Medical Sciences, Jahrom, Iran

Received: 09 Nov 2021 Accepted: 17 Jan 2022

Abstract:

Background & aim: Aberrant activation of various intracellular pathways is involved in differentiation, growth, apoptosis and cell survival. Different known intracellular pathways such as JAK/STAT cause tumor genesis and cancer development. This pathway plays an important role in various cellular functions and is activated by cytokines. Suppressors of cytokine signaling (SOCSs) genes play a pivotal role in regulating the immune system. Therefore, the aim of the research was to determine the effect of valproic acid drug on the expression of SOCS1, SOCS3, JAK1, JAK2, STAT3, STAT5A and STAT5B genes in HepG2 cell line liver cancer.

Methods: In the present experimental study conducted in 2019, HepG2 liver cancer cells were purchased from Pasteur Institute and the overlapping of the cells reached about 80%. Using trypsin, the cells were collected and after washing, they were cultured in 96-well plates. After 24 hours of cell culture, the culture medium was drained and the medium containing valproic acid drug with different concentrations (0, 1, 5, 7.5, 10, 15, 20 and 25 μmol) was replaced (solvent only control group). They received the drug, DMSO). After 24 and 48 hours, the cells were washed with PBS solution. MTT technique was used to determine cell viability. To determine the amount of apoptotic cells and gene expression, the cells were treated with valproic acid with a concentration of 6.643 μmol for 24 hours and 5.401 μmol for 48 hours, and after 24 and 48 hours, flow cytometry and real-time techniques were used for Determination of apoptotic cells and expression of SOCS1, SOCS3, JAK1, JAK2, STAT3, STAT5A and STAT5B genes were used. The collected data were analyzed using one-way analysis of variance and Turkey's test.

Results: Valproic acid significantly increased the expression of SOCS1 and SOCS3 genes, decreased the expression of JAK1, JAK2, STAT3, STAT5A and STAT5B genes and inhibited cell growth. This combination significantly caused apoptosis ($p<0.001$). The percentage of apoptotic cells after 24 and 48 hours was 22.38 and 50.3, respectively. The maximum amount of apoptosis was observed after 48 hours.

Conclusion: Valproic acid can induce apoptosis in HepG2 liver cancer through JAK/STAT pathway. Valproic acid seems to exert its apoptotic effect by decreasing the expression of JAK1, JAK2, STAT3, STAT5B genes and increasing SOCS1 and SOCS3 genes.

Keywords: Valproic acid, JAK/STAT pathway, Liver cancer, Apoptosis

*Corresponding author: Kaousi F, Non-communicable Diseases Research Center, Jahrom University of Medical Sciences, Jahrom, Iran

Email: kavoosifraidoon@gmail.com

Please cite this article as follows: Sanai Jahormi M, Kaousi F. The Effect of Valproic Acid Drug on the Expression of SOCS1, SOCS3, JAK1, JAK2, STAT3, STAT5A and STAT5B Genes in HepG2 Cell Line Liver Cancer. Armaghane-danesh 2022; 27(3): 336-348.